

# 算術分解を用いた基数変換回路の構成法 (3)

井口 幸洋<sup>†</sup> 笹尾 勤<sup>††</sup> 松浦 宗寛<sup>††</sup> 青山 俊一<sup>†</sup>

<sup>†</sup> 明治大学 理工学部 情報科学科  
<sup>††</sup> 九州工業大学 情報工学部 電子情報工学科

あらまし デジタル信号処理では、高速演算のために 2 以外の基数がよく用いられる。また、金融計算では、10 進数が 2 進数の代わりに用いられる。このような場合、基数変換回路が必要である。我々は、2 進数を  $q$  進数に変換する新しい基数変換回路の構成法を提案している。これは、weighted-wum (WS) 関数の概念に基づく新しい方法である。各桁の WS 関数を LUT カスケードと 2 進加算器とで計算し、それらを  $q$  進加算器で足し合わせることで基数変換器を構成する。本稿では、基数変換の合成ツールを開発したので報告する。これは、FPGA 上の組込みメモリのデータ・パターンと Verilog-HDL での回路記述を生成する。16 ビットの 2 進 10 進変換器を例にその結果を示す。

キーワード 基数変換、多値論理、LUT カスケード。

## Design Method of Radix Converters Using Arithmetic Decompositions (3)

Yukihiro IGUCHI<sup>†</sup>, Tsutomu SASAO<sup>††</sup>, Munehiro MATSUURA<sup>††</sup>, and Toshikazu AOYAMA<sup>†</sup>

<sup>†</sup> Department of Computer Science, Meiji University

<sup>††</sup> Department of Computer Science and Electronics, Kyushu Institute of Technology

**Abstract** In digital signal processing, radices other than two are often used for high-speed computation. In the computation for finance, decimal numbers are used instead of binary numbers. In such cases, radix converters are necessary. Design methods for binary to  $q$ -nary converters were presented by us. It introduced a new design technique based on weighted-sum (WS) functions. We compute a WS function for each digit by an LUT cascade and a binary adder, then add adjacent digits with  $q$ -nary adders. We developed a synthesis tool which produces Verilog-HDL files and data patterns of embedded memories on FPGAs. A 16-bit binary to decimal converter is designed to show the tool.

**Key words** Radix converter, Multiple valued logic, LUT cascades.

### 1. はじめに

デジタル信号処理では、通常、2 進数が使用される [10]。しかし、高速のデジタル信号処理では、 $p$  進数 ( $p > 2$ ) をよく使う [1], [7]。また、金融計算では、10 進数を 2 進数の代わりに用いる。このような場合、2 進数と  $p$  進数間の基数変換が必要である [2], [9]。

$p$  進数を  $q$  進数 ( $p, q \geq 2$ ) に変換する種々の方法が知られている。しかし、それらの多くが、多大な計算量を必要とする。基数変換表をメモリなどに記憶し、表引きにより変換を実行すると高速に実行できる。しかし、入力数が大きくなると、必要なメモリ量が増加するので実用的ではなくなる。

文献 [8] では、ROM と加算器とを組合せて 2 進 10 進変換を構成する方法を述べている。文献 [12] では、2 進 3 進、3 進 2 進、2 進 10 進、10 進 2 進変換を LUT カスケード [11] で実現している。文献 [15] では、WS 関数 (weighted-sum function) の概念に基づき、LUT カスケードを用いた基数変換回路の構成法を提案している。文献 [3] では、LUT カスケード [11] と算術分解 [14] とを用いて  $p$  進数 ( $p > 2$ ) から 2 進数への基数変換回路を従来法より少ないメモリ量で実現する方法を提案している。文献 [4], [5] では、 $p$  進数から  $q$  進数 ( $q > 2$ ) への変換に LUT カスケードと算術分解とを組合せた構成法を提案し、16 桁 2 進 10 進変換回路の設計を通じて、設計法の考え方を説明した。この時は、メモリ量の合計がなるべく小さくなるように分解を行ったが、実際に FPGA 上で利用するときは、組込みメモリの大きさに適合させる必要がある。

本稿では、Altera 社の Cyclone II FPGA (Field Programmable Gate Array) 上に搭載されている M4K と呼ばれる組込みメモリに適合する方法を述べる。また、 $n$  桁の 2 進数から  $m$  桁の  $q$  進数の基数変換回路を生成するツールを開発したので報告する。これは、FPGA 上の組込みメモリのデータ・パターンと Verilog-HDL での回路記述を生成する。提案する構成法は、複数のメモリや加

算器がカスケードに接続されるのでパイプライン化が容易である。開発したツールは、パイプライン・レジスタを自動で挿入することでスループットを改善できる。

### 2. 基数変換回路

#### 2.1 基数変換

[定義 2.1]  $n$  桁の  $p$  進数を  $\vec{x} = (x_{n-1}, x_{n-2}, \dots, x_0)_p$ ,  $m$  桁の  $q$  進数を  $\vec{y} = (y_{m-1}, y_{m-2}, \dots, y_0)_q$  とする。 $\vec{x}$  が与えられたとき、関係

$$\sum_{i=0}^{n-1} x_i p^i = \sum_{j=0}^{m-1} y_j q^j \quad (2.1)$$

を満たす  $\vec{y}$  を求める操作を基数変換という。ここで、 $x_i \in P, y_j \in Q, P = \{0, 1, \dots, p-1\}, Q = \{0, 1, \dots, q-1\}$  である。

$p$  進数 ( $q$  進数) が 2 進数でない時、その各桁は、2 進数 ( $q$  進数) で表されているとする。

[定義 2.2]  $i$  を整数とすると、 $BIT(i, j)$  は  $i$  の 2 進数表現の  $j$  番目のビットを表現する。ここで、最下位ビット (LSB) は 0 番目のビットとする。

[例 2.1]  $BIT(6, 2) = 1, BIT(6, 1) = 1, BIT(6, 0) = 0$ . (例終り)

[例 2.2] 2 進 10 進変換を考える。10 進数を表現するために 2 進数 10 進数 (binary coded decimal: BCD) を使う。つまり、0 は (0000), 1 は (0001), ..., 8 は (1000), 9 は (1001) で表す。ここで、(1010), (1011), ..., (1111) は未使用コードである。

表 2.1 は、4 桁の 2 進 10 進変換のための真理値表である。2 進数の入力を、 $\vec{x} = (x_3, x_2, x_1, x_0)$  と表す。出力である 10 進数の表記は、 $\vec{y} = (y_1, y_0)$  と表す。BCD での表現は、 $\vec{y} = (y_1, y_0) = (BIT(y_1, 3), BIT(y_1, 2), BIT(y_1, 1), BIT(y_1, 0), BIT(y_0, 3), BIT(y_0, 2), BIT(y_0, 1), BIT(y_0, 0))$  と表せる。 (例終り)

表 2.1 2進10進変換の真理値表

Binary				Decimal		Binary Coded Decimal				
$x_3$	$x_2$	$x_1$	$x_0$	$y_1$	$y_0$					
0	0	0	0	0	0	0	0	0	0	0
0	0	0	1	0	1	0	0	0	0	1
0	0	1	0	0	2	0	0	0	0	1
0	0	1	1	0	3	0	0	0	0	1
0	1	0	0	0	4	0	0	0	0	1
0	1	0	1	0	5	0	0	0	0	1
0	1	1	0	0	6	0	0	0	0	1
0	1	1	1	0	7	0	0	0	0	1
1	0	0	0	0	8	0	0	0	0	1
1	0	0	1	0	9	0	0	0	0	1
1	0	1	0	1	0	0	0	0	1	0
1	0	1	1	1	1	0	0	0	1	0
1	1	0	0	0	1	2	0	0	0	1
1	1	0	1	0	1	3	0	0	0	1
1	1	1	0	0	1	4	0	0	0	1
1	1	1	1	0	1	5	0	0	0	1

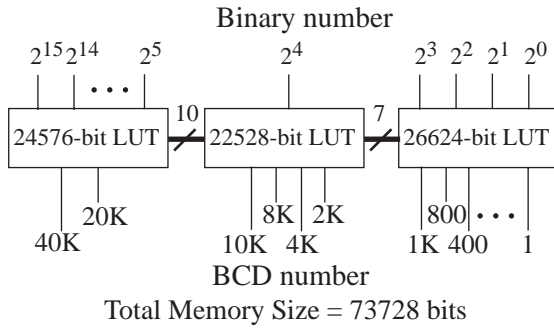


図 2.2 16桁2進10進変換: LUTカスケード法による実現

## 2.2 従来の実現法

### 2.2.1 ランダム・ロジックによる実現

比較器, 減算器, 及び, マルチプレクサを用いて, 基数変換回路を構成できる [3].

[例 2.3] 図 2.1 に示した 8 桁 2 進 10 進変換 (8bin2dec) を考える. これは, 8 桁の 2 進数  $x[7:0]$  を 3 桁の BCD に変換する回路である. 出力値の範囲は, 0 から 255 である. (例終り)

### 2.2.2 1 個のメモリによる実現

最も単純な方法は, 1 個のメモリに基数変換の真理値表をそのまま記憶させる方法である. この方式は単純で高速だが, 入力桁数が増えるとメモリ量が非常に大きくなり実用的ではない.

[例 2.4] 16 桁 2 進 10 進変換回路 (以後, 簡単のために 16bin2dec と省略) が表現する値の範囲は,  $[0, 2^{16} - 1] = [0, 65535]$  である. これを 1 個のメモリで実現すると 1, 245, 184 ビットとなる. (例終り)

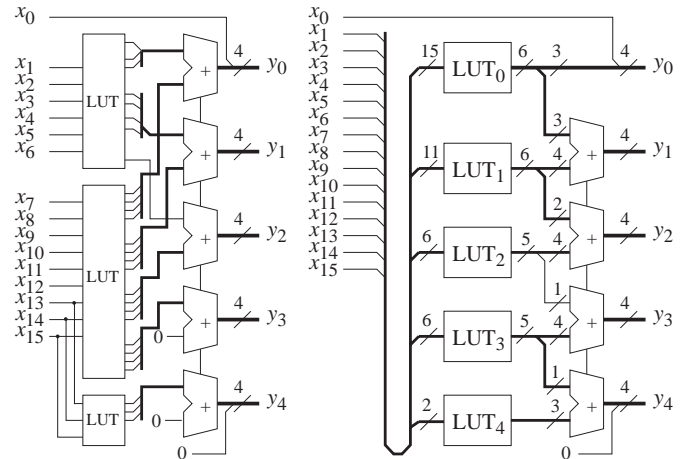
### 2.2.3 LUTカスケードを用いた実現

メモリ 1 個で基数変換回路を実現するのは単純だが, 入力桁数が増えると指数関数的にメモリ量が增大する. そこで, LUTカスケード実現を用いてハードウェア量を削減する方法が提案されている [12]. この方法では, 出力をグループに分割することで効果を高めている. 関数分解 [10] を用いて, LUTカスケード法で論理関数を実現できるかどうか判定できる. 関数分解には, データ構造として特性関数の二分決定グラフによる表現 (Binary Decision Diagrams for Characteristic Functions: BDD for CF) を用いる.

[例 2.5] 図 2.2 に 16 桁 2 進 10 進変換回路を示す [12]. この例では, LUT3 段からなる単純な構成で全ての出力を実現している. LUT は, メモリで実現する. メモリの総量は, 73, 728 ビットである. 本方法は, メモリだけで構成でき, 配線は隣接メモリ間のみであり, 単純な構成であることが特徴である. (例終り)

### 2.2.4 メモリと $q$ 進加算器とを組合せた実現

2 進 10 進基数変換器をメモリと加算器を組合せて実現する方法が提案されている [8]. 図 2.3(a) に 16 桁 2 進 10 進変換回路



(a) Conventional Method

(b) Proposed Method

図 2.3 メモリと  $q$  進加算器とを使った基数変換器の構成法

を示す [8]. この回路では, 入力  $2^0$  の桁と出力の最下位ビットつまり 1 の桁とは一致するので直結し, 残りの 15 入力を入力 9 ビットと下位 6 ビットとに 2 分割する. 全ての入力パターンに対して対応する BCD の値を各 LUT に記憶させておき, これらの LUT と BCD 加算器とで実現している. 総メモリ量は 8, 216 ビットである.

以上のような巧妙な方法を用いて, メモリと  $q$  進加算器 ( $q = 10$ ) とで 2 進 10 進変換器を構成している. この方法は, 入力を 2 分割することで, 総メモリ量を削減している.

## 3. WS 関数

WS 関数 (weighted sum function) は, 基数変換回路, ビット計数回路, 畳み込み演算の数学的モデルである [14], [15].

[定義 3.1]  $n$  入力 の WS 関数は, 次のように定義される [15]:

$$WS(\vec{x}) = \sum_{i=0}^{n-1} w_i x_i, \quad (3.1)$$

ここで  $\vec{x} = (x_{n-1}, x_{n-2}, \dots, x_0)$  を入力ベクトル,  $\vec{w} = (w_{n-1}, w_{n-2}, \dots, w_0)$  を重みベクトルと呼ぶ. 各要素は整数である.

本稿では,  $p$  進数から  $q$  進数への基数変換の表現に WS 関数を用いる. これ以後特に断らない限り,  $w_i$  と  $x_i$  は, 非負の整数とする.

[定義 3.2] WS 関数  $WS(\vec{x}) = \sum_{i=0}^{n-1} w_i x_i$ ,  $w_i \geq 0$ ,  $x_i \in \{0, 1, \dots, p-1\}$ ,  $p \geq 2$  が取り得る最小値を  $MIN_n$ , 最大値を  $MAX_n$  とする.

WS 関数は, 全ての入力  $x_i = 0$  の時, 最小値  $MIN_n = WS(0, 0, \dots, 0) = 0$  をとる. また, 全ての入力  $x_i = p-1$  の時, 最大値  $MAX_n = WS(p-1, p-1, \dots, p-1) = \sum_{i=0}^{n-1} \{w_i \cdot (p-1)\} = (p-1) \sum_{i=0}^{n-1} w_i$  をとる.

[定義 3.3] 整数  $i, j$  ( $i < j$ ) に対し, 整数の集合  $\{i, i+1, \dots, j\}$  を  $[i, j]$  と表記する.

次に WS 関数の値域を検討する.

[定義 3.4] 関数  $f(x)$  の値域を  $Range(f(x))$  と記す.

[例 3.1]  $WS_1(\vec{x}) = x_0 + 3x_1$ ,  $x_i \in \{0, 1, 2\}$  とする.  $Range(x_0) = \{0, 1, 2\}$ ,  $Range(3x_1) = \{0, 3, 6\}$  である. 従って,  $Range(WS_1(\vec{x})) = \{0, 1, 2, 3, 4, 5, 6, 7, 8\} = [0, 8]$ . 一方,  $WS_2(\vec{x}) = x_0 + 4x_1$ ,  $x_i \in \{0, 1, 2\}$  の時,  $Range(x_0) = \{0, 1, 2\}$ ,  $Range(4x_1) = \{0, 4, 8\}$  である. 従って,  $Range(WS_2(\vec{x})) = \{0, 1, 2, 4, 5, 6, 8, 9, 10\} \neq [0, 10]$ . また,  $WS_3(\vec{x}) = x_0 + 2x_1$ ,

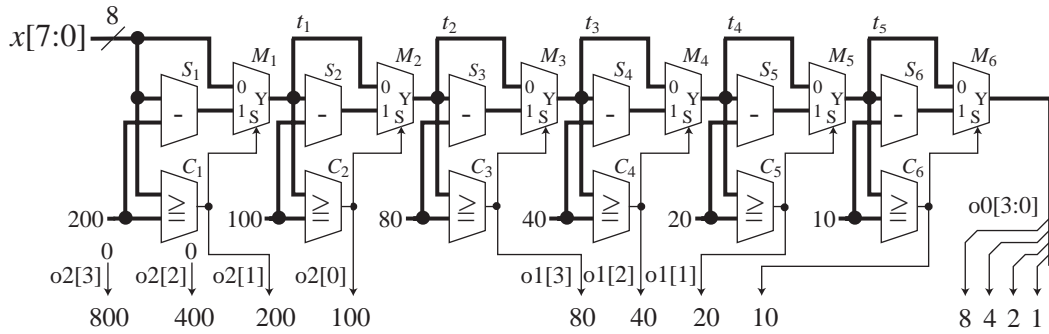


図 2.1 8 桁 2 進 10 進変換回路 (ランダムロジックによる実現)

$x_i \in \{0, 1, 2\}$  とする.  $Range(x_0) = \{0, 1, 2\}$ ,  $Range(2x_1) = \{0, 2, 4\}$  である. 従って,  $Range(WS_3(\vec{x})) = \{0, 1, 2, 3, 4, 5, 6\} = [0, 6]$ . (例終り)

#### 4. LUT カスケードと算術分解とを用いた実現

従来法 [8] の図 2.3(a) は, 3 個の LUT と 5 個の 10 進加算器だけで実現されている. 図 2.3(a) では, 中央の LUT の出力は, 全ての  $q$  進加算器の入力に接続されている.

我々が提案する方法 [4], [5] を図 2.3(b) に示す. この方法は, 出力桁の 1 桁もしくは 1 桁とその桁上がりの値を入力に対して予め計算しておき, LUT に格納しておく. 桁毎に独立して計算するので, 各 LUT からの出力は, 対応する 1 個の  $q$  進加算器と隣接する上位の  $q$  進加算器に入力される. しかし, 本方法は  $m$  個の LUT を必要とする. さらに, 下位桁に対する LUT の入力数は大きくなってしまふ. そこで, WS 関数の概念を用いて LUT カスケードに対する総メモリ量を削減している.

##### 4.1 WS 関数の LUT カスケード実現

ここからは, 図 2.3(b) の各 LUT によって実現される論理関数を考える. 表 4.1 は,  $2^i$  ( $i = 15, 14, \dots, 0$ ) に対する 10 進数を示している. 各行は, それぞれ  $10^4, 10^3, 10^2, 10^1, 10^0$  の桁を示している. 図 2.3(b) 内の LUT が表す関数を表 4.1 から得られる. 例えば,  $10000 = 10^4$  の位の値は,  $x_{14}, x_{15}$ , および, 下位桁からの桁上がりで求められる.

各 LUT が実現する式を以下に示す:

$$z_4 = x_{14} + 3x_{15}, \quad (4.1)$$

$$z_3 = x_{10} + 2(x_{11} + x_{15}) + 4x_{12} + 6x_{14} + 8x_{13}, \quad (4.2)$$

$$z_2 = (x_7 + x_{13}) + 2x_8 + 3x_{14} + 5x_9 + 7x_{15}, \quad (4.3)$$

$$z_1 = (x_4 + x_9) + 2(x_7 + x_{10}) + 3x_5 + 4x_{11} + 5x_8 + 6(x_6 + x_{15}) + 8x_{14} + 9(x_{12} + x_{13}), \quad (4.4)$$

$$z_0 = x_0 + 2(x_1 + x_5 + x_9 + x_{13}) + 4(x_2 + x_6 + x_{10} + x_{14}) + 6(x_4 + x_8 + x_{12}) + 8(x_3 + x_7 + x_{11} + x_{15}), \quad (4.5)$$

$$y = 10^4 z_4 + 10^3 z_3 + 10^2 z_2 + 10z_1 + z_0, \quad (4.6)$$

ここで,  $z_i$  ( $i = 0, 1, 2, 3, 4$ ) は,  $LUT_i$  の論理関数を表している.

式 (4.1) - (4.5) は, WS 関数を表している. LUT カスケードの段数も削減を削減しながら, 総メモリ量が小さい LUT カスケードで関数を実現できる.

総メモリ量最小のカスケードを見つけるために, 隣接する LUT を併合するかしないかを検討する. 異なる組合せの数は, LUT の個数を  $k$  個とすると  $2^{k-1}$  である. この場合, 入力変数  $x_i$  は,  $LUT_i$  に入力されていて, 各 LUT は,  $d = \lceil \log_2 p \rceil$  個の 2 値入力を持つ. このような制約の下では, LUT カスケードの全ての実現は  $2^{k-1}$  個の異なる組合せとなる.

表 4.1 2 のべき乗の 10 進数表現

$x$	$2^{15}$	$2^{14}$	$2^{13}$	$2^{12}$	$2^{11}$	$2^{10}$	$2^9$	$2^8$	$2^7$	$2^6$	$2^5$	$2^4$	$2^3$	$2^2$	$2^1$	$2^0$
$10^4$	3	1														
$10^3$	2	6	8	4	2	1										
$10^2$	7	3	1	0	0	0	5	2	1							
$10^1$	6	8	9	9	4	2	1	5	2	6	3	1				
$10^0$	8	4	2	6	8	4	2	6	8	4	2	6	8	4	2	1

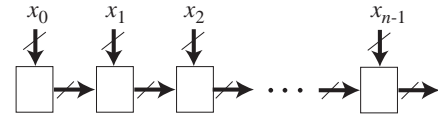


図 4.2 LUT カスケード.

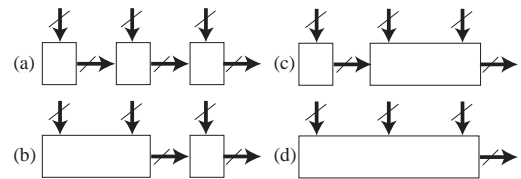


図 4.3 3 セルの LUT カスケードの全ての併合の組合せ.

[定理 4.1] 図 4.2 に示す LUT カスケードを考える, ここで, 各セルへの変数の順序と割り当て方は固定する. この場合, 最小のメモリサイズを持つ LUT カスケードは,  $2^{s-1}$  個の異なる組合せの中から見つけられる.

(証明略)

[例 4.1] 図 4.3(a) に 3 セルの LUT カスケードを示す. 隣接する LUT を併合するかしないかの組合せは,  $2^{3-1} = 4$  通りである. これを (a)-(d) に示す. (例終り)

隣接する LUT を併合可能かどうかを検出するための補題を示す.

[補題 4.1] 図 4.4 に示す LUT カスケードを考える, ここで, LUT H は,  $k$  入力  $k$  出力である. この場合, メモリ量を増加させることなく 2 つの LUT を 1 個に併合可能である.

(証明略)

補題 4.1 を用いると, 併合可能な LUT を見つけられる. 図 4.4 では, LUT H のメモリ量を削減でき, 段数も 1 段削減できる.

[補題 4.2] 図 4.5 に示すような LUT カスケードを考える, ここで, LUT H は,  $k$  入力  $(k-1)$  出力, LUT G は,  $k$  入力  $(k-1)$  出力である. この場合, メモリ量を増加させることなく 2 つの LUT を 1 つに併合可能である.

(証明略)

補題 4.2 を用いることで, 総メモリ量を増加させることなく段数を 1 段削減できる. 補題 4.1, 4.2 以外の併合を行うと LUT カスケードの総メモリ量は増加する.

[アルゴリズム 4.1] (LUT の併合)

(1) 各  $LUT_i$  には, 1 個の外部入力  $x'_i$ , ( $i = 0, 1, \dots, k-1$ ) が入力されている LUT カスケードで WS 関数を実現する.

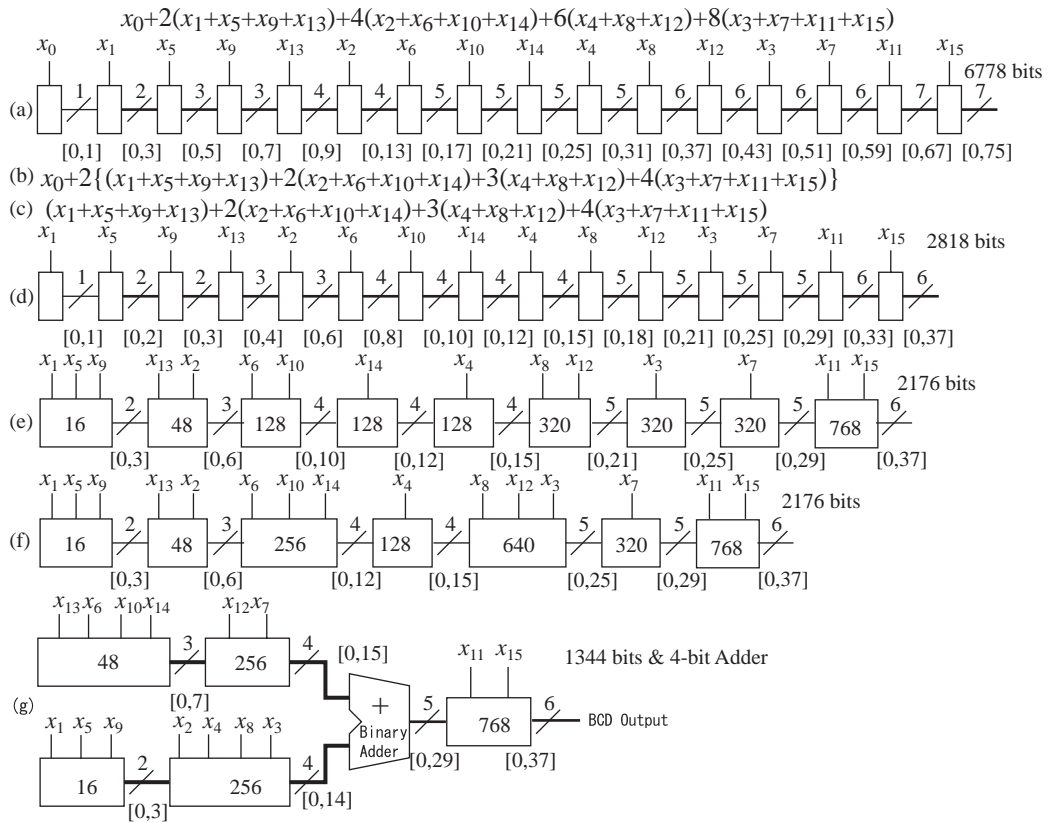


図 4.1  $z_0$  を実現する LUT カスケード.

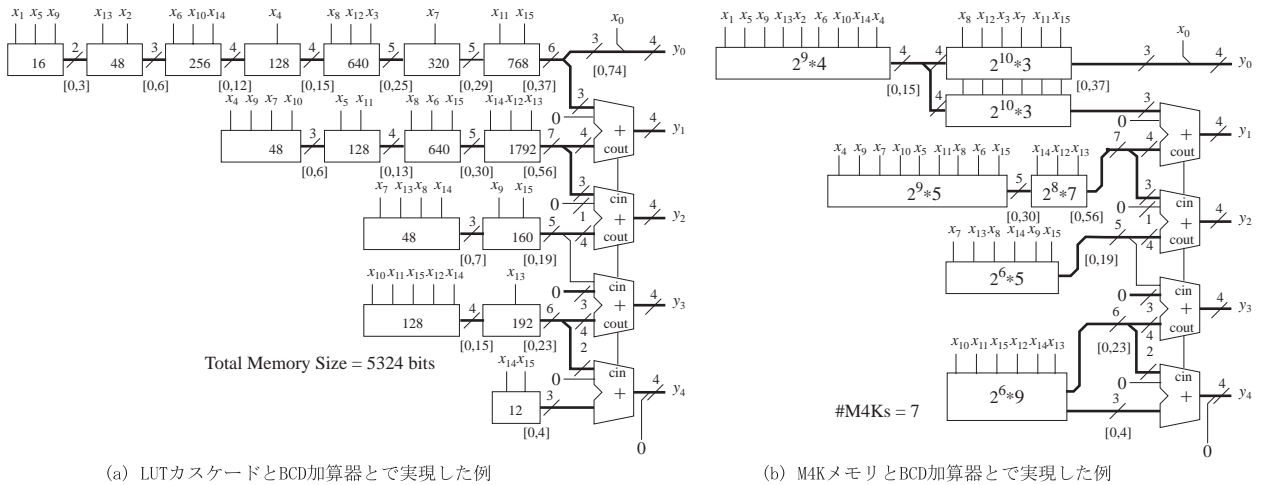


図 4.6 16 桁 2 進 10 進変換回路を LUT カスケードと BCD 加算器とで実現した例.

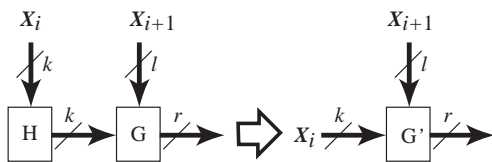


図 4.4 併合により総メモリ量を削減可能な LUT.

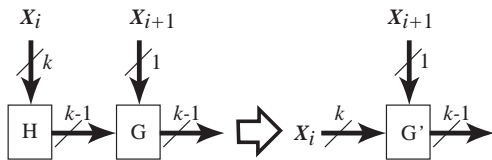


図 4.5 総メモリ量を変化させない LUT の併合.

- (2) 補題 4.1 を LUT カスケードにできる限り適用する.
- (3) 補題 4.2 を LUT カスケードにできる限り適用する.

[定理 4.2] アルゴリズム 4.1 は, 最小のメモリサイズの LUT カ

スケードを生成する.

(証明略)

[例 4.2] アルゴリズム 4.1 を用いて, 式 (4.5) が表す WS 関数を LUT カスケードで実現する設計過程を図 4.1 に示す. (e) と (f) の LUT 内に書いた数値はメモリ量を表す.

- 図 4.1(a) は, 式 (4.5) に対応する LUT カスケードである. ここで, 各 LUT は唯一の外部入力  $x_i$  を持っている. 総メモリ量は 6,778 ビットであり, 段数は 16 である.

- 2 進数から 10 進数の変換においては, 入力  $x_0$  は, 出力 BIT( $y_0, 0$ ) を直接表現している [8]. よって,  $x_0$  の項を式 (4.5) から除去する. 次に, 2 で括り, (b) に示す式を得る.

- (d) は, (c) に対応する LUT カスケードである. 総メモリ量は 2,818 ビットであり, 段数は 15 である.

- 補題 4.1 を (d) に繰り返し適用し, (e) に示す LUT カスケードを得る. 総メモリ量は 2,176 ビットであり, 段数は 9 である.

ある。

- 補題 4.2 を (e) に繰り返し適用し, (f) に示す LUT カスケードを得る。総メモリ量は 2,176 ビットであり, 段数は 7 である。(例終り)

最終段の LUT の出力は, BCD 加算器への入力となるので, BCD コードで出力することに注意されたい。

[例 4.3] アルゴリズム 4.1 を式 (4.1)–(4.5) に適用し, LUT カスケードを得る。次に, これらを BCD 加算器で加算する。図 4.6(a) に 16 桁 2 進 10 進変換回路を示す。総メモリ量は 5,324 であり, 4 個の 10 進加算器を使用する。これは, 図 2.3(b) に相当する。一方, 図 2.3(a) に示した従来法での総メモリ量は, 8,216 ビットであり, 5 個の BCD 加算器を使用している。(例終り)

#### 4.2 WS 関数の算術分解を用いた実現

[定理 4.3] WS 関数は, 以下のように 2 個の WS 関数の和に分解可能である:

$$WS(\vec{x}) = \sum_{i=0}^{n-1} w_i x_i = \alpha WS_A(\vec{x}) + WS_B(\vec{x}), \quad (4.7)$$

ここで  $WS_A(\vec{x}) = \sum_{i=0}^{n-1} a_i x_i$ ,  $WS_B(\vec{x}) = \sum_{i=0}^{n-1} b_i x_i$ ,  $\alpha$  は整数。式 (4.7) を  $WS(\vec{x})$  の算術分解といい,  $\alpha$  を分解係数と呼ぶ。 $\alpha$  には,  $1 \leq \alpha < \sum_{i=0}^{n-1} w_i x_i$  の任意の整数を選ぶことができる。ここでは  $\alpha = 1$ ,  $X_A \cap X_B = \emptyset$ ,  $X_A \cup X_B = X$  となるような分解のみを考える。

算術分解を用いて LUT カスケードの総メモリ量の削減を考える。LUT カスケードは算術分解により分解できる。2 進 10 進変換回路を LUT カスケードと BCD 加算器とで実現するとき, 最終段の LUT は BCD コードで出力されなければならない。つまり, 最終段の LUT は, 符号化の機能も担当している。それゆえ, 最終段の LUT を取り除いた残りの LUT カスケードを 2 進加算器で算術分解することにする。

2 進加算器の 2 つの入力のビット数は, 平衡しているより小さな加算器を用いることができる。そこで, 2 つの入力変数を重み係数の和が等しくなるような分割を試みる。

[アルゴリズム 4.2] (算術分解のための入力の 2 分割法)

- (1)  $X_A \leftarrow \phi$ ;  $X_B \leftarrow \phi$ ;  $IN \leftarrow \{w_0, w_1, w_2, \dots, w_{n-1}\}$ ;
- (2) If  $IN = \phi$  then goto step (7);
- (3)  $w_i$  を集合  $IN$  内の最小の要素とする;
- (4)  $IN \leftarrow IN - \{w_i\}$ ;
- (5) If  $(|X_A| \leq |X_B|)$ , then  $X_A \leftarrow X_A + \{x_i\}$ , else  $X_B \leftarrow X_B + \{x_i\}$ ;
- (6) step (2)へ;
- (7) 集合  $X_A$  と  $X_B$  は, 入力の分割を示している。

[例 4.4] 図 4.1(f) の LUT カスケードを算術分解して実現した例を図 4.1(g) に示す。総メモリ量は 1,344 ビットに削減されている。但し, 4 ビット 2 進加算器が, 1 個必要になる。

[例 4.5] アルゴリズム 4.2 を図 4.6 に適用して図 4.7 の 16bin2dec が得られる。総メモリ量は 3,788 ビットであり, 3 個の 2 進加算器と 4 個の BCD 進加算器を使用している。(例終り)  
アルゴリズム 4.2 は, 平衡のとれた分割を生成する。

### 5. FPGA の組込みメモリを用いた基数変換回路の実現

FPGA 上に基数変換回路を実現することを検討した。FPGA デバイスには, Altera 社の Cyclone II (EP2C5T144C6) を仮定した。このデバイスは, 13 個の組込み乗算器 (Embedded Multiplier: EM), 26 個の 4K ビット組込みメモリ (M4K), そして, 4608 個のロジック・エレメント (Logic Element: LE) を持っている。FPGA

表 5.1 16 桁 2 進 10 進変換回路を Cyclone II 上に実装したときのハードウェア量と性能

Design	LE	M4K	Reg	$f_{max}$ [MHz]
Fig. 4.6(b)	123	7	107	140
Fig. 4.7(b)	133	7	108	115

開発システムには, Altera 社の Quartus II V. 6.0 を用いた。

開発した基数変換の合成システムを図 5.1 に示す。このシステムは, Verilog-HDL 形式のコードと, 組込みメモリである M4K に格納するデータとして生成する。FPGA では, LUT(セル) は, M4K を用いて実現し, 加算器はロジック・エレメント (LE) を用いて実現する。

前節では, LUT の総容量が小さくなるように LUT カスケードや算術分解を使って基数変換回路を構成した。しかし, 前節で述べた回路を素直に HDL で記述すると, 1 個の LUT が小規模でも, 1 個の組込みメモリに割付けられてしまう。つまり, FPGA で実現する場合は, 総メモリ量の削減ではなく, 総メモリ数の削減が重要となる。

FPGA に搭載される組込みメモリは, 容量が固定でビット幅を可変にできるものがある。M4K も,  $2^{12} \times 1$ ,  $2^{11} \times 2$ ,  $2^{10} \times 4$ ,  $2^9 \times 8$ ,  $2^9 \times 9$ ,  $2^8 \times 16$ ,  $2^8 \times 18$ ,  $2^7 \times 32$ , および,  $2^7 \times 36$  ビットのように, メモリの深さとデータ幅とを可変にできる。

図 4.6(a) の一番上のカスケードに注目すると, 左 4 個の LUT の総外部入力数は 9 入力であり, この 4 個の LUT の右端の出力は 4 ビットである。これは, M4K を 1 個用いて実現できる。右側の 3 個の LUT は, 左側の LUT からの出力 4 本と 6 個の外部入力  $x_8, x_{12}, x_3, x_7, x_{11}, x_{15}$  の併せて 10 本が入力となり, 出力は 6 ビットの LUT で実現できる。これは, M4K を  $2^{10} \times 4$  の形式で 2 個用いて実現できる。

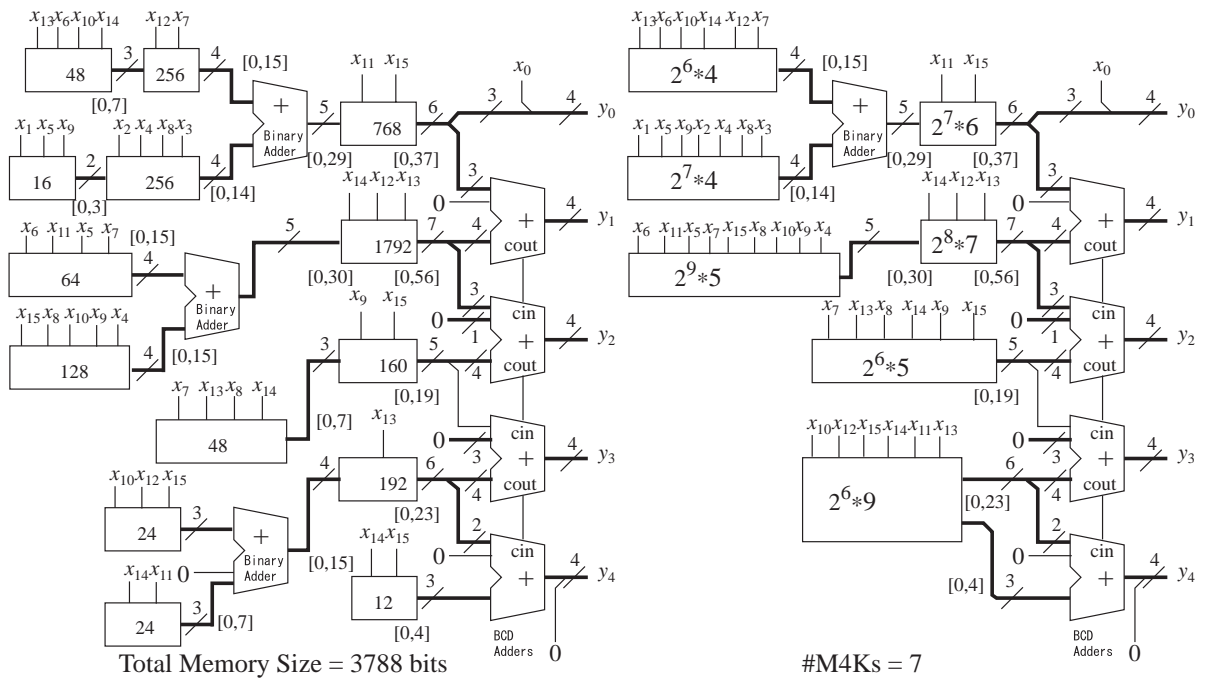
なるべく, 出力ビットが増えるように割り付けていくという方式をツールでは採用した。この方式で, 4.6(a) の複数の LUT を M4K で実現すると, 4.6(b) のように 7 個の M4K で実現できる。

同様に, 図 4.7(a) に示した算術分解と LUT カスケードとを併用して実現した回路内の LUT を M4K に割付けて図 4.7(b) を得る。図 4.7(a) の回路では 2 進加算器が 3 個使用されている。M4K を割付けたとき, 複数の LUT だけでなく, 2 進加算器と LUT とをまとめて M4K で実現できる場合がある。図 4.7(a) の上から 2 段目の 2 進加算器とその入力側の 2 個の LUT は, (b) ではまとめられ, 1 個の M4K に割付けられていることに注意されたい。(b) の回路では, M4K が 7 個で実現されている。

組込みメモリ M4K は, 遅延時間が見積もりやすく, 同期式のメモリであるのでパイプライン化も極めて容易である。本合成ツールでは, パイプラインレジスタを, 入力と加算器間に自動で挿入できる機能も備えている。図 4.6(b) と図 4.7(b) を Cyclone II (EP2C5T144C6) に出力レジスタ 7 段のパイプライン化をツールが施して実現したときの, ハードウェア量と動作速度を表 5.1 に示す。LE (Logic Element), M4K, および, レジスタの個数と動作周波数を示す。どちらも, LE 数は全体の 3% 以内と小さく, M4K も M4K が 26 個中 7 個のみで実現されている。動作周波数は, 140MHz と 115MHz であり, それぞれ 7.1[nsec], 8.7[nsec] 毎に変換結果を出力できる。

### 6. まとめ

本稿では,  $p$  進  $q$  進変換器の設計法について述べた。読みやすさのために,  $p = 2$ ,  $q = 10$ , つまり 2 進 10 進変換器を例にその方法を説明した。また, FPGA 上に実現する場合はメモリの割付を明示的に行う必要があり, メモリの割付とパイプライン化を自動で行うツールを開発したので報告した。



(a) LUTカスケード, 2進加算器, BCD加算器とで実現した例 (b) M4Kメモリ, 2進加算器, BCD加算器とで実現した例

図 4.7 16 桁 2 進 10 進変換回路: LUT カスケード, 2 進加算器, BCD 加算器を用いた実現.

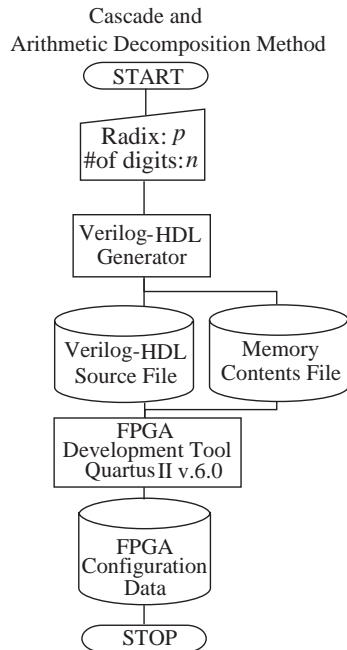


図 5.1 基数変換回路の合成システム.

謝辞

本研究は、一部、文部科学省・科学研究費補助金、文部科学省・北九州地域知的クラスター創成事業の補助金、明治大学特別研究による。

文 献

[1] T. Hanyu and M. Kameyama, "A 200 MHz pipelined multiplier using 1.5 V-supply multivalued MOS current-mode circuits with dual-rail source-coupled logic," *IEEE Journal of Solid-State Circuits* 30, 11, (1995), 1239-1245.  
 [2] C. H. Huang, "A fully parallel mixed-radix conversion algorithm for residue number applications," *IEEE Trans. Comput.*, vol. 32, pp. 398-402, 1983.  
 [3] Y. Iguchi, T. Sasao, and M. Matsuura, "On design of radix converters using arithmetic decompositions," *36th International Symposium on*

*Multiple-Valued Logic*, Singapore, May 17-20, 2006, p. 3  
 [4] 井口幸洋, 笹尾勤, 松浦宗寛, "算術分解を用いた基数変換回路の構成法 (2)," 信学会、リコンフィギャラブルシステム研究会, RECONF2006-47, 2006-11-30, 小倉.  
 [5] Y. Iguchi, T. Sasao, and M. Matsuura, "On designs of radix converters using arithmetic decompositions," *36th International Symposium on Multiple-Valued Logic*, Oslo, Norway, May 13-16, 2007.(Accepted)  
 [6] K. Ishida, N. Homma, T. Aoki, and T. Higuchi, "Design and verification of parallel multipliers using arithmetic description language: ARITH," *34th International Symposium on Multiple-Valued Logic*, Toronto, Canada, May 2004, pp.334-339.  
 [7] I. Koren, *Computer Arithmetic Algorithms, 2nd Edition*, A. K. Peters, Natick, MA, 2002.  
 [8] S. Muroga, *VLSI System Design*, John Wiley & Sons, 1982, pp. 293-306  
 [9] D. Olson, and K. W. Current, "Hardware implementation of supplementary symmetrical logic circuit structure concepts," *30th IEEE International Symposium on Multiple-Valued Logic* Portland, Oregon, May 23-25, 2000.  
 [10] T. Sasao, *Switching Theory for Logic Synthesis*, Kluwer Academic Publishers, 1999.  
 [11] T. Sasao, M. Matsuura, and Y. Iguchi, "A cascade realization of multiple-output function for reconfigurable hardware," *International Workshop on Logic and Synthesis(IWLS01)*, Lake Tahoe, CA, June 12-15, 2001, pp. 225-230.  
 [12] T. Sasao, "Radix converters: Complexity and implementation by LUT cascades," *35th International Symposium on Multiple-Valued Logic*, Calgary, Canada, May 19-21, 2005, pp.256-263.  
 [13] T. Sasao, "Analysis and synthesis of weighted-sum functions," *International Workshop on Logic and Synthesis*, Lake Arrowhead, CA, USA, June 8-10, 2005, pp.455-462.  
 [14] T. Sasao, Y. Iguchi, and T. Suzuki, "On LUT cascade realizations of FIR filters," *DSD2005, 8th Euromicro Conference on Digital System Design: Architectures, Methods and Tools*, Porto, Portugal, Aug. 30 - Sept. 3, 2005, pp.467-474.  
 [15] T. Sasao, "Analysis and synthesis of weighted-sum functions," *IEEE Trans. on CAD*, Vol. 25, No. 5, May 2006, pp. 789-796..